



(11) RO 126335 B1

(51) Int.Cl.

F24J 2/38 (2006.01),

F24J 2/54 (2006.01)

(12)

## BREVET DE INVENTIE

(21) Nr. cerere: **a 2010 00677**

(22) Data de depozit: **29.07.2010**

(45) Data publicării mențiunii acordării brevetului: **30.05.2014** BOPI nr. **5/2014**

(41) Data publicării cererii:  
**30.05.2011** BOPI nr. **5/2011**

(73) Titular:  
• UNIVERSITATEA "TRANSILVANIA" DIN  
BRAŞOV, BD.EROILOR NR.29, BRAŞOV,  
BV, RO

(72) Inventatori:  
• VIŞA ION, STR.CLOŞCA NR.48, BRAŞOV,  
BV, RO;  
• DUȚĂ-CAPRĂ ANCA, STR.HĂRMANULUI  
NR.15 A, BL.211, SC.C, ET.3, AP.8,  
BRAŞOV, BV, RO;  
• DIACONESCU DORIN,  
STR.TUDOR VLADIMIRESCU NR.36, BL.3,  
AP.10, BRAŞOV, BV, RO;

• SĂULESCU RADU, STR.PANSELUȚEI  
NR.10, BL.3, SC.A, ET.4, AP.17, CODLEA,  
BV, RO;  
• VĂTĂŞESCU MONICA,  
STR. LĂCRĂMIOARELOR NR.5, BL.9, SC.A,  
AP.17, BRAŞOV, BV, RO;  
• BURDUHOS BOGDAN,  
STR.SIMION BĂRNUTIU NR.18, SIBIU, SB,  
RO;  
• TOȚU IOAN, PIATA SFATULUI NR.29,  
AP.2, BRAŞOV, BV, RO;  
• CREANGĂ NORA, STR.EGALITĂȚII  
NR.26, BRAŞOV, BV, RO

(56) Documente din stadiul tehnicii:  
**RO 125253 A2; US 20070215199 A1;**  
**EP 1998122 A1; US 4108019**

(54) **MECANISM DE ORIENTARE**

Examinator: ing. DEACONU ANCA



Orice persoană are dreptul să formuleze în scris și  
motivat, la OSIM, o cerere de revocare a brevetului de  
invenție, în termen de 6 luni de la publicarea mențiunii  
hotărârii de acordare a acesteia

RO 126335 B1

1 Inventia se referă la un mecanism de orientare, de tip romboid, care este acționat de  
 2 un actuator liniar, destinat orientării unor platforme solare după o axă, caracterizat printr-o  
 3 cursă unghiulară mare, în vecinătatea valorii de  $180^\circ$ , în condițiile evitării blocării și a supra-  
 4 încărcării mecanismului patrulater, și a realizării unui gabarit relativ redus, cu scopul de a  
 5 maximiza radiația solară receptată de platformă.

6 Este cunoscut un mecanism de orientare articulat (cu bare articulate), constituit  
 7 dintr-un lanț cinematic de tip triunghi deformabil, în care o latură este materializată printr-un  
 8 actuator liniar electric (mai rar hidraulic sau pneumatic), care este utilizat pentru orientarea  
 9 unor platforme fotovoltaice sau solar termice, după o axă de elevație caracterizată printr-o  
 10 cursă unghiulară care nu depășește ușual  $90^\circ$  ([www.wattsun.com](http://www.wattsun.com); [www.solenergy.com.au](http://www.solenergy.com.au)  
 11 etc). Acest mecanism de orientare are dezavantajul că nu poate fi utilizat pentru curse  
 12 unghiulare mari, din cauza reducerii unghiurilor de transmitere (la capete de cursă) la valori  
 13 situate în domeniul blocării.

14 Este cunoscut, de asemenea, un mecanism de orientare, ce realizează curse unghiulare  
 15 mari (EP 1998122 A1), constituit dintr-un reductor de turăție, cu raport de transmitere foarte  
 16 ridicat, acționat printr-un servomotor electric. Acest tip de mecanism de orientare are  
 17 următoarele dezavantaje principale, față de un mecanism articulat cu actuator liniar: a) preț  
 18 de cost net mai mare, și b) complexitate structurală, constructivă și tehnologică net mai ridicată.

19 Mai este cunoscut un mecanism de orientare patrulater (US 2007/0215199 A1), cu  
 20 bare articulate, constituit dintr-un lanț cinematic de tip balansier scurt-bielă-balansier lung,  
 21 în care balansierul lung efectuează o cursă unghiulară, după o axă de elevație caracterizată  
 22 printr-o cursă unghiulară care nu depășește ușual  $90^\circ$ , care este pus în mișcare sub acțiunea  
 23 unui actuator liniar, articulat între balansierul scurt și bielă. Acest tip de mecanism are  
 24 dezavantajul că este un mecanism cu care nu se poate face o cursă unghiulară mare, cu  
 25 unghiuri de presiune relativ mari, și necesită o suprafață de desfășurare mai mare, ceea ce  
 26 implică și costuri de fabricație mai mari.

27 Este, de asemenea, cunoscut un mecanism de orientare romboid, alcătuit dintr-un  
 28 mecanism patrulater (J.A. Chojnacki et al., *Influence of the Accuracy of Positioning of the*  
*29 Photovoltaic System on Electrical Parameters and on the Quantity of Produced Electric Power*,  
 30 *23rd European Photovoltaic Solar Energy Conference, 1-5.09.2008, Valencia, Spania, pp.*  
 31 *3558-3561*), cu bare articulate, constituit dintr-un lanț cinematic de tip balansier scurt-bielă  
 32 (de aceeași lungime cu balansierul scurt)-balansier lung și bază (de aceeași lungime cu  
 33 balansierul lung), în care actuatorul liniar (articulat la un capăt între balansierul scurt și bielă,  
 34 și, la celalalt capăt, între balansierul lung și bază), prin acțiunea lui, induce o cursă unghiulară  
 35 balansierului lung (solidar cu panoul PV) de circa  $90^\circ$ . Acest tip de mecanism are dezavantajul  
 36 că este un mecanism cu care nu se poate face o cursă unghiulară mare, cu unghiuri de  
 37 presiune relative mari (existând riscul blocării la ducerea panoului în poziție orizontală).

38 Problema tehnică pe care o rezolvă inventia constă în creșterea cursei unghiulare de  
 39 ieșire a unui mecanism articulat, echipat cu un actuator liniar, cu menținerea unghiurilor de  
 40 transmitere în afara domeniului de blocare (ușual  $>25^\circ$ ).

41 Mecanismul de orientare, conform inventiei, înălțătură dezavantajele de mai sus prin  
 42 aceea că este alcătuit dintr-un mecanism patrulater de tip romboid, alcătuit dintr-un balansier  
 43 scurt, o bielă, un balansier lung, de aceeași lungime cu biela, și o bază de aceeași lungime  
 44 cu balansierul scurt, care este acționat de un actuator liniar, prevăzut cu două articulații: una  
 45 cu baza, dispusă excentric față de articulația dintre balansierul scurt și bază, și una suprapusă  
 46 cu articulația dintre bielă și balansierul lung, actuator care induce balansierului scurt, prin  
 47 intermediul bielei și balansierului lung, o cursă unghiulară mare, în vecinătatea valorii de  $180^\circ$ .

# RO 126335 B1

Avantajele invenției sunt următoarele:	1
- extinde utilizarea unui actuator liniar și la realizarea unei curse unghiulare de orientare mari (specifice orientării diurne din sistemele de orientare a platformelor solare);	3
- are o construcție relativ simplă, fiabilitate ridicată, și nu ridică probleme tehnologice speciale;	5
- este relativ ieftin, datorită actuatoarelor liniare care se găsesc pe piață într-o largă varietate constructivă și sunt net mai ieftine decât cele rotative, în condiții similare de precizie;	7
- este ireversibil (datorită ireversibilității actuatorului liniar cu șurub), asigurând blocarea sistemului de orientare (în poziție de repaus) fără dispozitive speciale de frânare/blocare.	9
Se prezintă, în continuare, un exemplu de realizare a invenției, în legătură cu fig. 1-19:	
- fig. 1, schema cinematică 2D a unui mecanism de orientare, conform invenției, reprezentat în poziții extreme, cu notații pentru elementele componente și cursele unghiulare;	11
- fig. 2, schema cinematică 2D a unui mecanism de orientare, conform invenției, reprezentat în poziții extreme, cu notații pentru lungimile mecanismului patrulater;	13
- fig. 3, schema cinematică 2D a unui mecanism de orientare, conform invenției, reprezentat în poziții extreme, cu notații pentru lungimile extreme ale actuatorului și pentru distanța minimă dintre axa actuatorului și axa stâlpului de susținere a platformei;	15
- fig. 4, familie de curbe pentru variația cursei unghiulare a în funcție de unghiul de transmitere minim <b>b_min</b> ;	17
- fig. 5, familie de curbe pentru variația unghiului c în funcție de unghiul de transmitere minim <b>b_min</b> ;	19
- fig. 6, familie de curbe pentru variația unghiului d în funcție de unghiul de transmitere minim <b>b_min</b> ;	21
- fig. 7, familie de curbe pentru variația raportului $k_d$ în funcție de unghiul de transmitere minim <b>b_min</b> ;	23
- fig. 8, familie de curbe pentru variația raportului $k_i$ în funcție de unghiul de transmitere minim <b>b_min</b> ;	25
- fig. 9, familie de curbe pentru variația raportului $k_s$ în funcție de unghiul de transmitere minim <b>b_min</b> ;	27
- fig. 10, familie de curbe pentru variația cursei unghiulare e în funcție de unghiul de transmitere minim <b>b_min</b> ;	29
- fig. 11, familie de curbe pentru variația cursei unghiulare f în funcție de unghiul de transmitere minim <b>b_min</b> ;	31
- fig. 12, familie de curbe pentru variația raportului $k_g$ în funcție de unghiul de transmitere minim <b>b_min</b> , pentru $k_5 = 2$ ;	33
- fig. 13, familie de curbe pentru variația raportului $k_s$ în funcție de unghiul de transmitere minim <b>b_min</b> , pentru $k_5 = 2,2$ ;	35
- fig. 14, familie de curbe pentru variația raportului $k_g$ în funcție de unghiul de transmitere minim <b>b_min</b> , pentru $k_5 = 2,2$ ;	37
- fig. 15, familie de curbe pentru variația raportului $k_s$ în funcție de unghiul de transmitere minim <b>b_min</b> , pentru $k_5 = 1,8$ ;	39
- fig. 16, familie de curbe pentru variația raportului $k_g$ în funcție de unghiul de transmitere minim <b>b_min</b> , pentru $k_5 = 1,8$ ;	41
- fig. 17, schema 3D a unui exemplu de aplicare a mecanismului din fig. 1, 2 și 3;	43
- fig. 18, detaliu al mecanismului de orientare de tip romboid, din fig. 17;	45
- fig. 19, algoritm de calcul pentru sinteza dimensională a mecanismului de orientare de tip romboid.	47

Mecanismul de orientare conform invenției, în legătură cu fig. 1, 2, 3, 17, 18, este format dintr-un mecanism patrulater plan, de tip romboid, acționat de un actuator liniar, ale căruia poziții extreme sunt reprezentate în fig. 1, 2 și 3, cu linie continuă și, respectiv, întreruptă. Mecanismul de orientare conține un mecanism patrulater articulat, de tip romboid 1-2-3-4, alcătuit dintr-un balansier 1 scurt de lungime  $l_1$ , o bielă 2 de lungime  $l_2$ , un balansier 3 lung de aceeași lungime cu biela 2, și o bază 4 de aceeași lungime cu balansierul 1 scurt, care este acționat de un actuator A liniar, cu două articulații: o articulație cu baza 4, dispusă excentric față de articulația 1-4, și o articulație suprapusă cu articulația 2-3.

Actuatorul A induce balansierului 1 scurt, prin intermediul bielei 2 și balansierului 3 lung, o cursă unghiulară a mare (în jurul valorii de  $180^\circ$ ). Mecanismul patrulater 1-2-3-4, în care elementul 4 este fix, are o funcționare optimă (fără tendință de blocare și de supraîncărcare) dacă în pozițiile sale extreme (fig. 1, 2 și 3) unghiul ascuțit format de elementele 1 și 2 (poziție extinsă), respectiv, 3 și 4 (poziție strânsă) realizează unghiuri (de transmitere) a căror valoare  $b$  nu coboară sub o valoare minim admisă ( $b_{min.ad}$ ), care asigură evitarea tendinței de blocare (uzual  $b_{min.ad} > 25^\circ$ ); îndeplinirea acestei condiții, însotită de realizarea unei curse unghiulare a impuse, și de evitarea coliziunii dintre actuator și articulația 1-4, este posibilă numai pentru anumite corelații între lungimile elementelor mecanismului patrulater. Aceste corelații pot fi determinate grafic cu ajutorul fig. 4-16, bazate pe adoptarea unor rapoarte  $k_2$  ( $k_2 = l_2/l_1$ ) și  $k_5$  ( $k_5 = l_5/l_1$ ), cu valori discrete în intervale rezonabile ( $k_2 = 1,4; 1,6; 1,8; 2; 2,2$  și  $k_5 = 1,8; 2; 2,2$ ).

În continuare se prezintă un exemplu de sinteză dimensională, bazat pe un algoritm ilustrat în fig. 19 și pe fig. 4 -16.

## EXEMPLU DE CALCUL

Se cunosc următoarele date:

- structura mecanismului de orientare în care dimensiunile  $l_1$ ,  $l_2$ ,  $l_5$ ,  $l_d$ ,  $l_s$ ,  $l_g$  sunt necunoscute (fig. 2 și 3);
- cursa unghiulară de orientare impusă:  $a = 210^\circ$ ;
- unghiul de transmitere minim admis  $b_{min.ad} = 25^\circ$  (pentru evitarea tendinței de blocare:  $b \geq b_{min.ad} = 25^\circ$ ).

Se cer:

a) valorile unghiurilor c, d, e, f și valorile rapoartelor  $k_d = l_d/l_1$ ,  $k_i = l_i/l_1$ ,  $k_s = l_s/l_1$ ,  $k_g = l_g/l_1$  pentru care se realizează un gabarit redus și unghiuri de transmitere cât mai mari;

b) dimensiunile mecanismului în premsa unei aplicații în care: 1) se folosește un actuator cu o cursă  $l_s = 1000$  mm, 2) momentul maxim de încărcare datorat vântului impune utilizarea unui balansier de lungime  $l_1 = 300$  mm, 3) pentru evitarea interferenței dintre actuator și stâlp, este necesară o distanță  $l_g \geq 85$  mm.

## Etapa I

Pentru valori impuse ale unghiului de transmitere  $b$ , și considerând pentru raportul  $k_2$  valori discrete în domeniul 1,4-2,2 ( $k_2 = l_2/l_1 = 1,4; 1,6; 1,8; 2; 2,2$ ), se calculează valorile unghiurilor c, d și a, și se construiește familia de curbe de tipul celor din fig. 4, pe baza relațiilor:

$$c = \operatorname{arctg} \frac{k_2 \sin b}{k_2 \cos b - 1}, \quad d = \operatorname{arctg} \frac{k_2 \sin b}{k_2 \cos b + 1}, \quad a = 2[180 - (c + d)]$$

# RO 126335 B1

Pentru o valoare impusă a cursei unghiulare  $a$  se determină valorile unghiului  $b_{min}$ , în funcție de raportul  $k_2$ , reținându-se numai valorile care asigură evitarea blocării ( $b_{min} \geq b_{min.ad}$ ); se determină valoarea discretă minimă  $k_{2min}$  care asigură evitarea blocării.

Pentru  $a = 210^\circ$  și  $k_2 = 1,4; 1,6; 1,8; 2; 2,2$ , se obțin următoarele valori (fig. 4):  $b_{min} = 31,8^\circ > 25^\circ$  pentru ( $a = 210^\circ; k_2 = 2,2$ );  $b_{min} = 30,5^\circ > 25^\circ$  pentru ( $a = 210^\circ; k_2 = 2$ );  $b_{min} = 28,8^\circ > 25^\circ$  pentru ( $a = 210^\circ; k_2 = 1,8$ );  $b_{min} = 26,5^\circ > 25^\circ$  pentru ( $a = 210^\circ; k_2 = 1,6$ ) și  $b_{min} = 22,8^\circ < 25^\circ$  pentru ( $a = 210^\circ; k_2 = 1,4$ ); evident, dintre acestea, valoarea finală se exclude!

## **Etapa a II-a**

Se construiesc familii de curbe de tipul celor din fig. 5 și 6, pe baza relațiilor prezentate în etapa I.

Considerând  $k_2 \geq 1,6$ , se determină valorile lui  $c$  și  $d$ , corespunzătoare perechilor ( $a; k_2$ ), pentru care în etapa I s-au obținut valori  $b_{min} > b_{min.ad}$ .

Pentru perechile ( $a = 210^\circ; k_2 \geq 1,6$ ) decelate în prima etapă, obținem:  $c = 59^\circ$  și  $d = 16,5^\circ$  pentru ( $a = 210^\circ; k_2 = 1,6$ );  $c = 56^\circ$  și  $d = 18,5^\circ$  pentru ( $a = 210^\circ; k_2 = 1,8$ );  $c = 54,5^\circ$  și  $d = 20,5^\circ$  pentru ( $a = 210^\circ; k_2 = 2$ );  $c = 53^\circ$  și  $d = 22^\circ$  pentru ( $a = 210^\circ; k_2 = 2,2$ ).

## **Etapa a III-a**

Se construiesc familii de curbe de tipul celor din fig. 7...9, pe baza relațiilor:

$$k_d = \frac{l_d}{l_1} = \sqrt{k_5^2 + k_2^2 + 2 \cdot k_5 \cdot k_2 \cdot \cos b_{min}}, \quad k_i = \frac{l_i}{l_1} = \sqrt{k_5^2 + k_2^2 - 2 \cdot k_5 \cdot k_2 \cdot \cos b_{min}}$$

$$k_s = k_d - k_i; \quad (s = l_d - l_i).$$

Considerând  $k_2 \geq k_{2min}$  și  $k_5 = 2$ , se determină  $k_d$ ,  $k_i$ ,  $k_s$  pentru perechile ( $a, k_2$ ). Pentru perechile ( $a = 210^\circ; k_2 \geq 1,6$ ) decelate în prima etapă, se obține: ( $k_d = 3,5$ ;  $k_i = 0,9$ ;  $k_s = 2,6$ ) pentru ( $a = 210^\circ; k_2 = 1,6$ ); ( $k_d = 3,7$ ;  $k_i = 0,95$ ;  $k_s = 2,75$ ) pentru ( $a = 210^\circ; k_2 = 1,8$ ); ( $k_d = 3,85$ ;  $k_i = 1,05$ ;  $k_s = 2,8$ ) pentru ( $a = 210^\circ; k_2 = 2$ ) și ( $k_d = 4,05$ ;  $k_i = 1,15$ ;  $k_s = 2,9$ ) pentru ( $a = 210^\circ; k_2 = 2,2$ ).

## **Etapa a IV-a**

Se construiesc familii de curbe de tipul celor din fig. 10 și 11, pe baza relațiilor:

$$e = \arcsin[k_5 \cdot (\sin b_{min}) / k_i] - 2(c - b), \quad f = 2(b - d) - \arcsin[k_5 \cdot (\sin b_{min}) / k_d].$$

Se determină valorile unghiurilor  $e$  și  $f$  pentru diferite valori ( $a, k_2, k_5$ ). Pentru tripletele ( $a = 210^\circ; k_2 \geq 1,6; k_5$ ) utilizate, se obțin:  $e = 40^\circ$  și  $f = 1,7^\circ$  pentru ( $a = 210^\circ; k_2 = 1,6; k_5 = 2$ );  $e = 48^\circ$  și  $f = 2,6^\circ$  pentru ( $a = 210^\circ; k_2 = 1,8; k_5 = 2$ );  $e = 33,5^\circ$  și  $f = 3,6^\circ$  pentru ( $a = 210^\circ; k_2 = 2; k_5 = 2$ );  $e = 22^\circ$  și  $f = 1,4^\circ$  pentru ( $a = 210^\circ; k_2 = 2,2; k_5 = 2$ ).

## **Etapa a V-a**

Se construiește o familie de curbe de tipul celei din fig. 12, pe baza relației:

$$k_g = l_g/l_1 = (k_5 - 1) \sin(2d + f - b_{min}).$$

Se determină valorile  $k_g$  pentru tripletele ( $a, k_2, k_5$ ) utilizate anterior. Pentru tripletele ( $a = 210^\circ; k_2 \geq 1,6; k_5$ ) alese, se obțin:  $k_g = 0,14$  pentru ( $a = 210^\circ; k_2 = 1,6; k_5 = 2$ );  $k_g = 0,19$  pentru ( $a = 210^\circ; k_2 = 1,8; k_5 = 2$ );  $k_g = 0,24$  pentru ( $a = 210^\circ; k_2 = 2; k_5 = 2$ );  $k_g = 0,29$  pentru ( $a = 210^\circ; k_2 = 2,2; k_5 = 2$ ).

Pentru comparație, în fig. 13, 15 și în fig. 14, 16 sunt reprezentate variații ale rapoartelor  $k_s$  și, respectiv,  $k_g$ , pentru valori discrete ale raportului  $k_s$ , situate în vecinătatea celei utilizate în exemplul considerat mai sus ( $k_5 = 2$ ):  $k_s = 2,2$  și, respectiv,  $k_s = 1,8$  pentru care au rezultat următoarele valori:  $k_s = 2,65$  și  $k_g = 0,15$  pentru ( $a = 210^\circ; k_2 = 1,6; k_5 = 2,2$ );  $k_s = 2,8$  și  $k_g = 0,215$  pentru ( $a = 210^\circ; k_2 = 1,8; k_5 = 2,2$ );  $k_s = 2,95$  și  $k_g = 0,275$  pentru

1 (a = 210°; k<sub>2</sub> = 2; k<sub>5</sub> = 2,2); k<sub>s</sub> = 3,05 și k<sub>g</sub> = 0,33 pentru (a = 210°; k<sub>2</sub> = 2,2; k<sub>2</sub> = 2,2), respectiv  
3 k<sub>s</sub> = 2,5 și k<sub>g</sub> = 0,12 pentru (a = 210°; k<sub>2</sub> = 1,6; k<sub>5</sub> = 1,8); k<sub>s</sub> = 2,59 și k<sub>g</sub> = 0,16 pentru (a = 210°;  
k<sub>2</sub> = 1,8; k<sub>5</sub> = 1,8); k<sub>s</sub> = 2,65 și k<sub>g</sub> = 0,2 pentru (a = 210°; k<sub>2</sub> = 2; k<sub>5</sub> = 1,8); k<sub>s</sub> = 2,7 și k<sub>g</sub> = 0,24  
pentru (a = 210°; k<sub>2</sub> = 2,2; k<sub>5</sub> = 1,8).

## 5      **Etapa a VI-a**

7      Alegerea soluției optime dintre rezultatele obținute, precum și dintre cele care pot fi  
9      generate din acestea prin interpolare liniară depinde de particularitățile concrete ale aplicației  
11     practice, privind: gabaritul, cursa culisorului, evitarea coliziunii dintre actuator și stâlpul de  
13     susținere al platformei etc. Astfel, în condițiile datelor numerice considerate inițial (l<sub>s</sub> =  
1000mm, l<sub>1</sub> = 300 mm și l<sub>g</sub> ≥ 85 mm), rezultă următoarele valori optime: a = 210°; k<sub>2</sub> = l<sub>2</sub>/l<sub>1</sub>  
= 2,2; b<sub>min</sub> = 31,8°; c=53°; d=22°; k<sub>5</sub> = l<sub>5</sub>/l<sub>1</sub> =2; e=22°; f=4,4°; k<sub>d</sub> = l<sub>d</sub>/l<sub>1</sub> =4,05; k<sub>i</sub> = l<sub>i</sub>/l<sub>1</sub> = 1,15;  
k<sub>s</sub> = l<sub>s</sub>/l<sub>1</sub> = 2,9; k<sub>g</sub> = l<sub>g</sub>/l<sub>1</sub> = 0,29; l<sub>1</sub> = 300 mm; l<sub>2</sub> = 660 mm; l<sub>5</sub> = 600 mm; l<sub>d</sub> = 1215 mm; l<sub>i</sub> = 345  
mm; l<sub>s</sub> = 870 mm; l<sub>g</sub> = 87 mm.

15     Utilizarea unui astfel de mecanism este exemplificată în fig. 17 și 18, în poziția extremă  
strânsă, în cazul orientării diurne a unei platforme solare cu orientare biaxială de tip  
azimut-altitudine.

## Revendicări

1

1. Mecanism de orientare, caracterizat prin aceea că este alcătuit dintr-un mecanism patrulater de tip romboid, alcătuit dintr-un balansier (1) scurt, o bielă (2), un balansier (3) lung, de aceeași lungime cu biela (2), și o bază (4) de aceeași lungime cu balansierul (1) scurt, care este acționat de un actuator (A) liniar, prevăzut cu două articulații: una cu baza (4), dispusă excentric față de articulația dintre balansierul (1) scurt și bază (4), și una suprapusă cu articulația dintre bielă (2) și balansierul (3) lung, actuator (A) care induce balansierului (1) scurt, prin intermediul bielei (2) și balansierului (3) lung, o cursă unghiulară (a) mare, în vecinătatea valorii de 180°.	3
2. Mecanism de orientare, conform revendicării 1, caracterizat prin aceea că, pentru eliminarea tendințelor de blocare, de coliziune stâlp-actuator și de supraîncărcare, rapoartele optime între segmentele mecanismului sunt determinate cu ajutorul unui algoritm de calcul, și sunt notate astfel: $k_2 = l_2/l_1$ , $k_5 = l_5/l_1$ , $k_d = l_d/l_1$ , $k_i = l_i/l_1$ , $k_s = l_s/l_1$ , $k_g = l_g/l_1$ , unde $l_1$ este lungimea balansierului (1) scurt, $l_2$ este lungimea bielei (2), $l_5$ este distanța dintre articulațiile bazei (4) cu actuatorul (A) și cu balansierul (3) lung, $l_d$ și $l_i$ sunt distanțele dintre articulațiile actuatorului în pozițiile complet deschis și, respectiv, complet închis, $l_s = l_d - l_i$ este cursa actuatorului (A), iar $l_g$ este distanța minimă dintre axa stâlpului și axa actuatorului, și în care $k_2$ poate lua valori discrete, cuprinse între 1,4 și 2,2, iar $k_5$ - între 1,8 și 2,2.	11
3. Mecanism de orientare, conform revendicării 2, caracterizat prin aceea că lungimile optime ale mecanismului de orientare $l_2$ , $l_5$ , $l_d$ , $l_i$ , $l_s$ , $l_g$ se determină în funcție de lungimea balansierului scurt $l_1$ , pentru o cursă unghiulară (a) de orientare impusă a balansierului (1) scurt, a unui unghi de transmitere ( $b_{min.ad}$ ) minim admis, cu ajutorul nomogramelor și a algoritmului de calcul.	21
	13
	15
	17
	19
	23

# RO 126335 B1

(51) Int.Cl.  
*F24J 2/38*<sup>(2006.01)</sup>,  
*F24J 2/54*<sup>(2006.01)</sup>

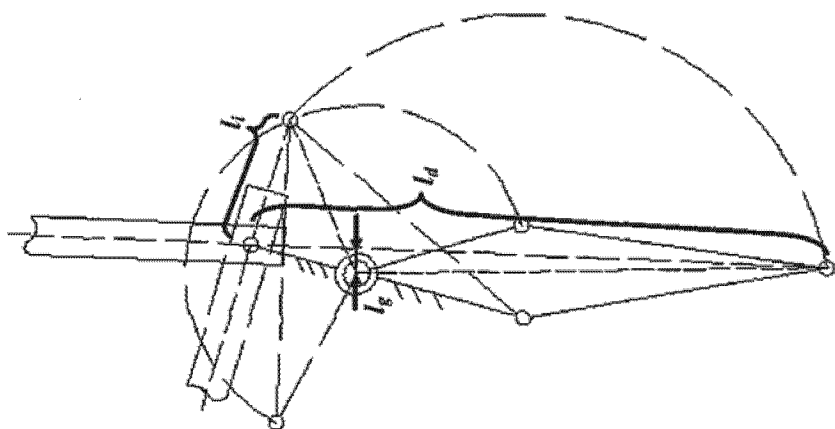


Fig. 3

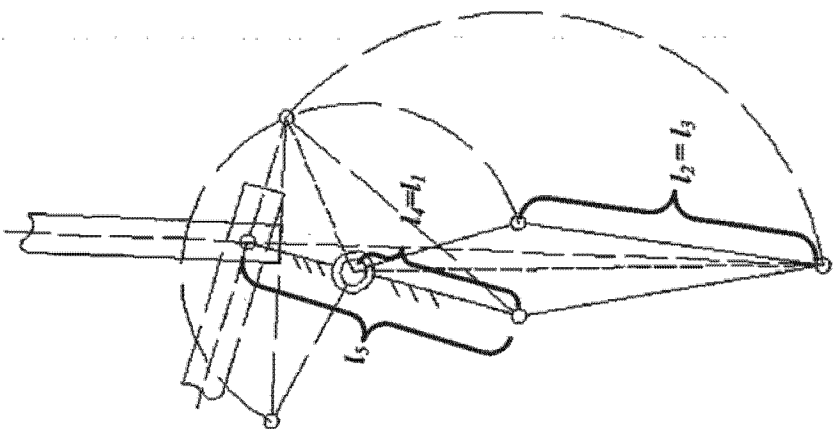


Fig. 2

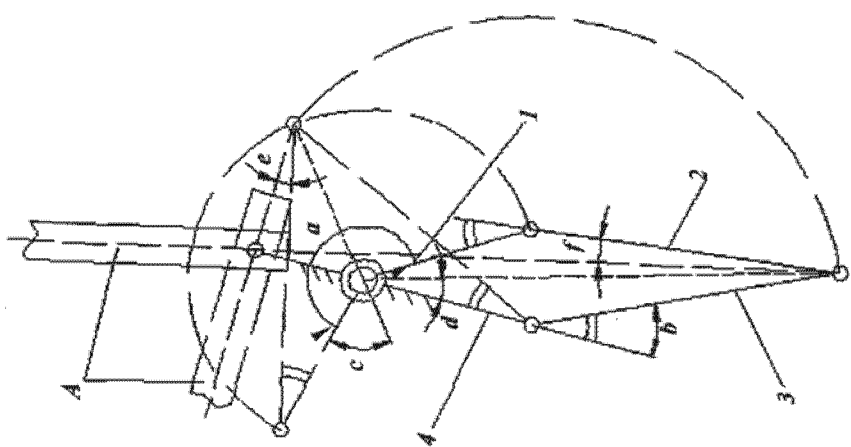


Fig. 1

# RO 126335 B1

(51) Int.Cl.

**F24J 2/38** (2006.01).

**F24J 2/54** (2006.01)

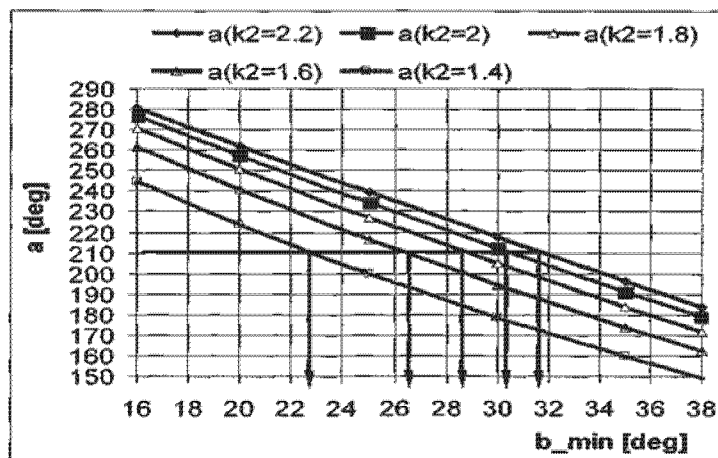


Fig. 4

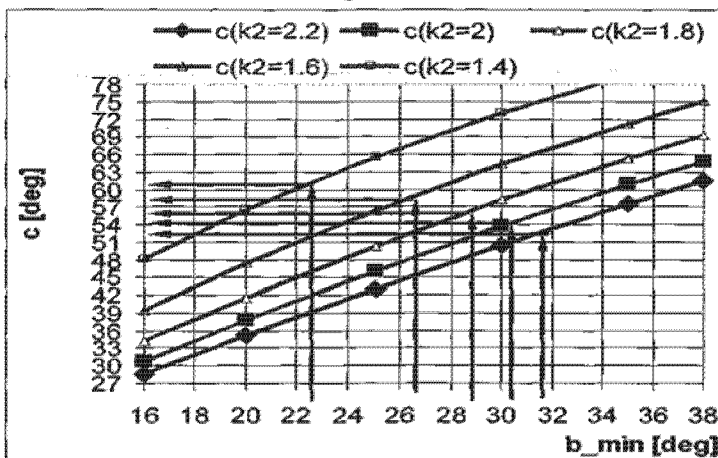


Fig. 5

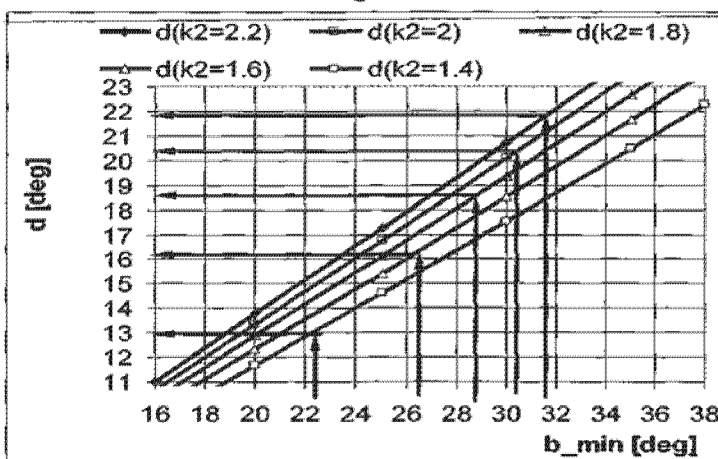


Fig. 6

# RO 126335 B1

(51) Int.Cl.  
**F24J 2/38**<sup>(2006.01)</sup>,  
**F24J 2/54**<sup>(2006.01)</sup>

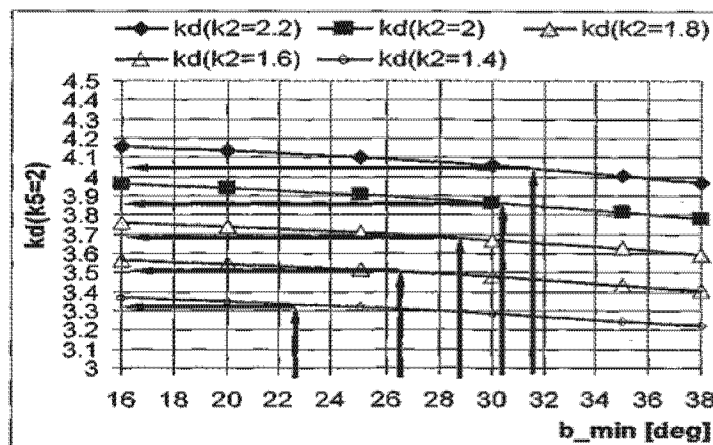


Fig. 7

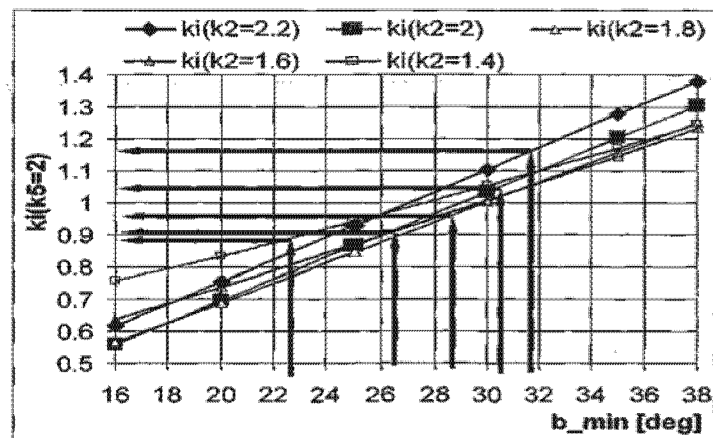


Fig. 8

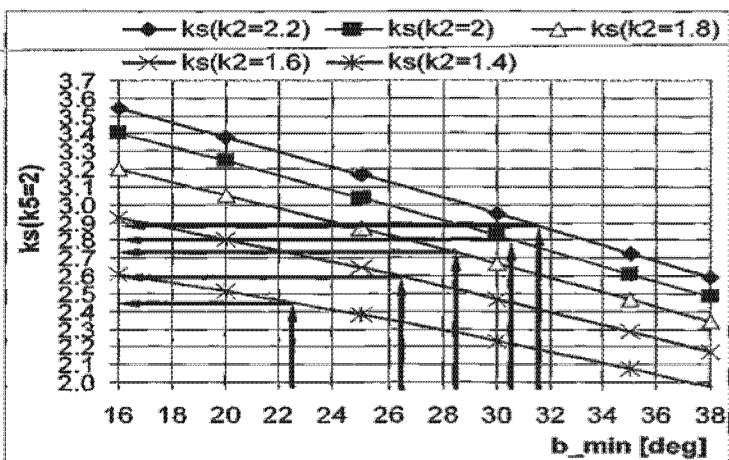


Fig. 9

# RO 126335 B1

(51) Int.Cl.

**F24J 2/38** (2006.01).

**F24J 2/54** (2006.01)

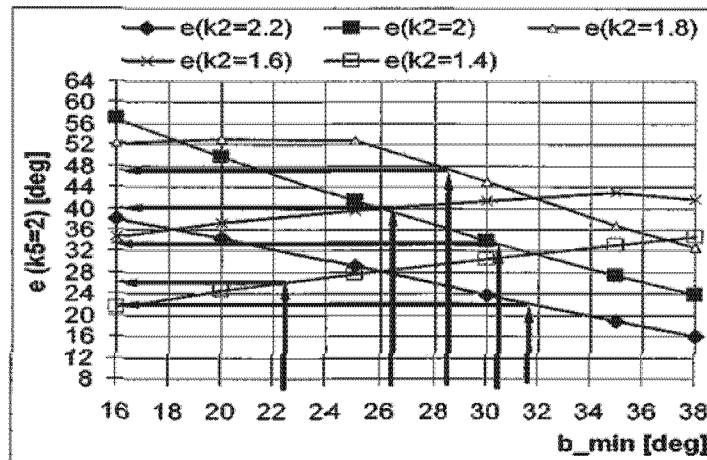


Fig. 10

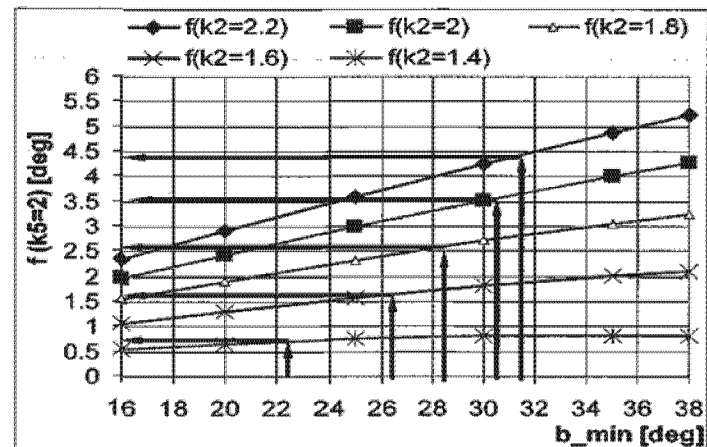


Fig. 11

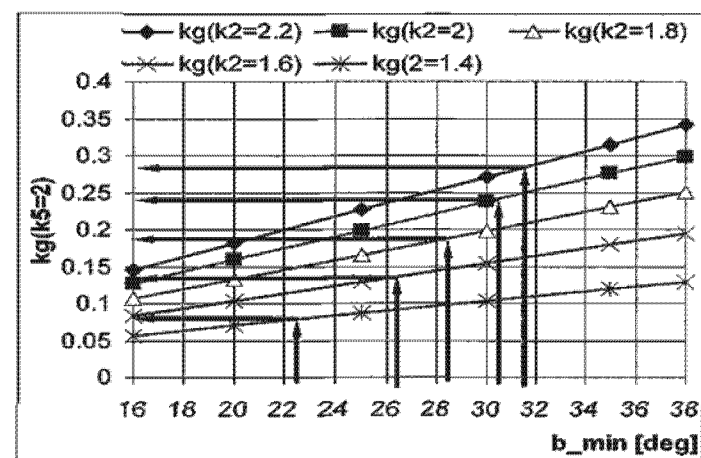


Fig. 12

# RO 126335 B1

(51) Int.Cl.  
**F24J 2/38**<sup>(2006.01)</sup>,  
**F24J 2/54**<sup>(2006.01)</sup>

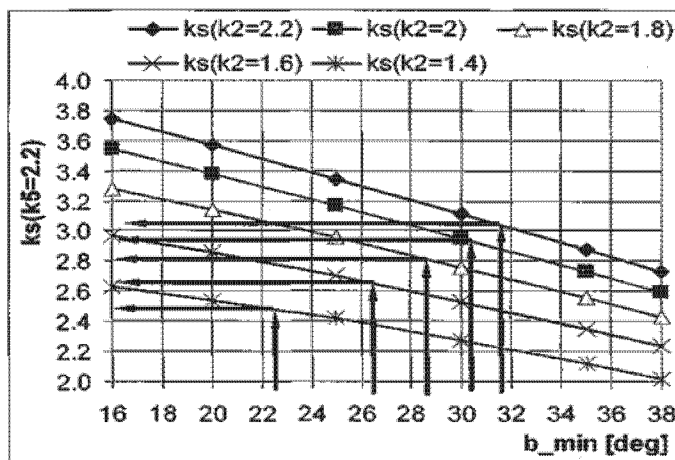


Fig. 13

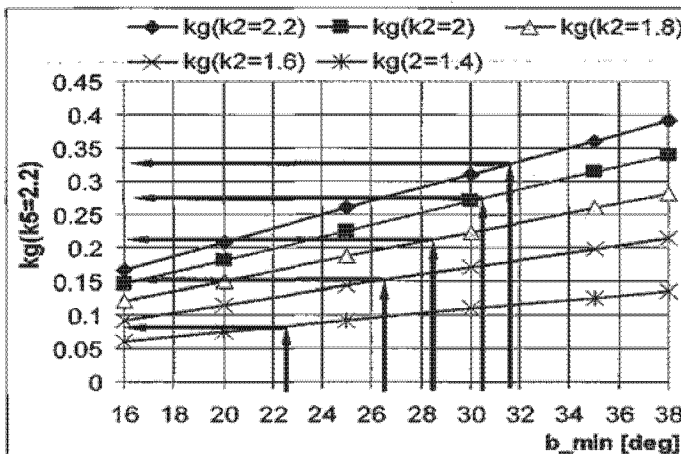


Fig. 14

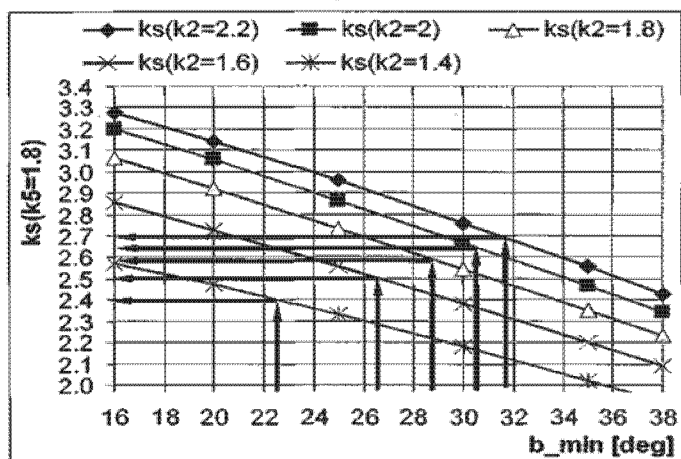


Fig. 15

# RO 126335 B1

(51) Int.Cl.  
**F24J 2/38**<sup>(2006.01)</sup>,  
**F24J 2/54** (2006.01)

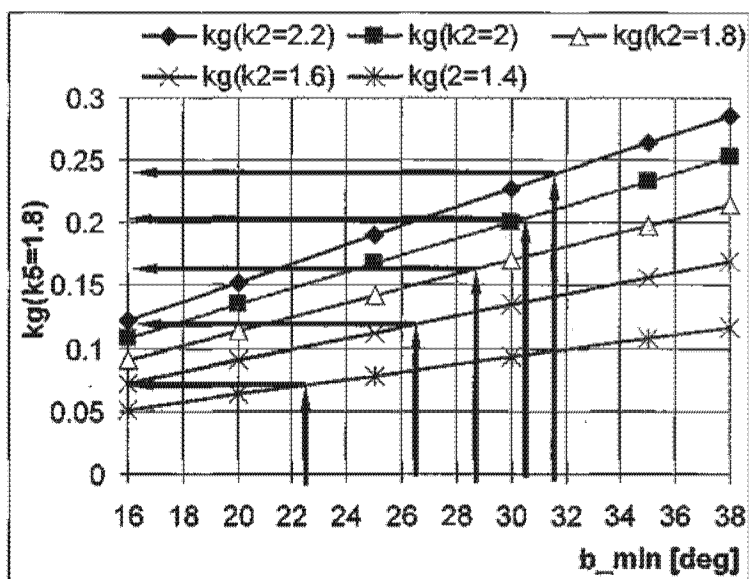


Fig. 16

# RO 126335 B1

(51) Int.Cl.  
**F24J 2/38**<sup>(2006.01)</sup>,  
**F24J 2/54**<sup>(2006.01)</sup>

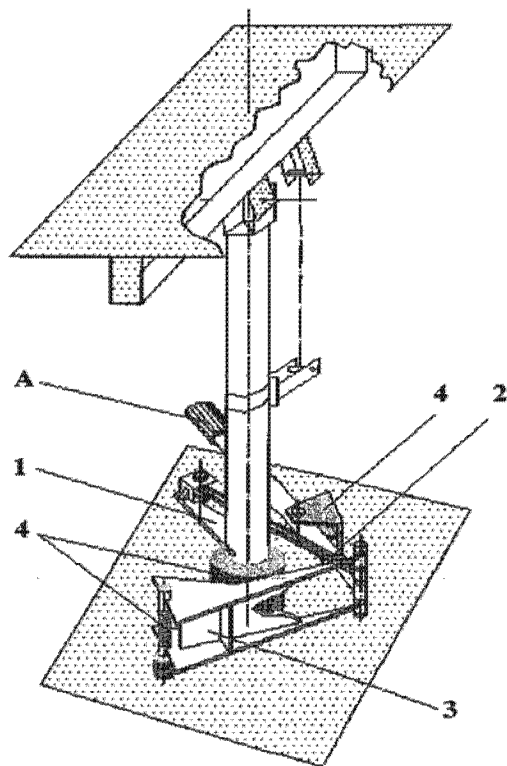


Fig. 17

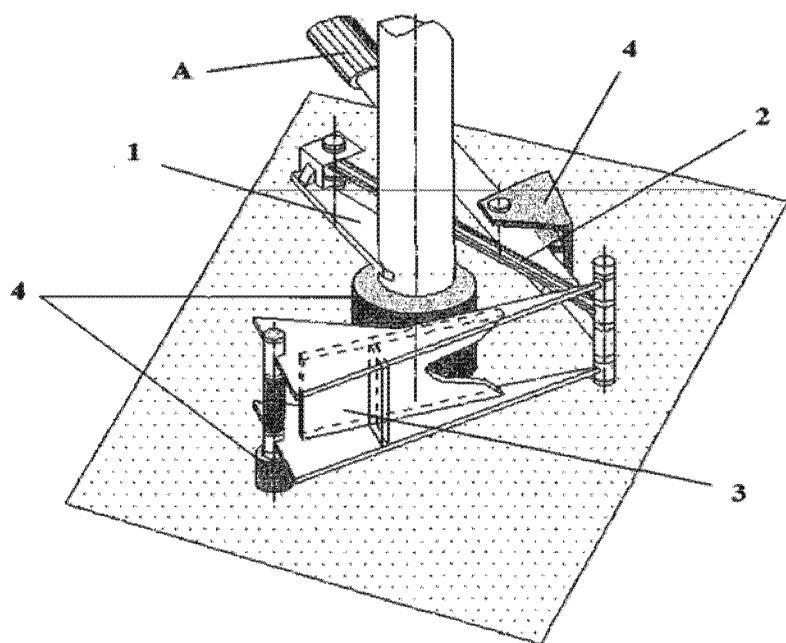


Fig. 18

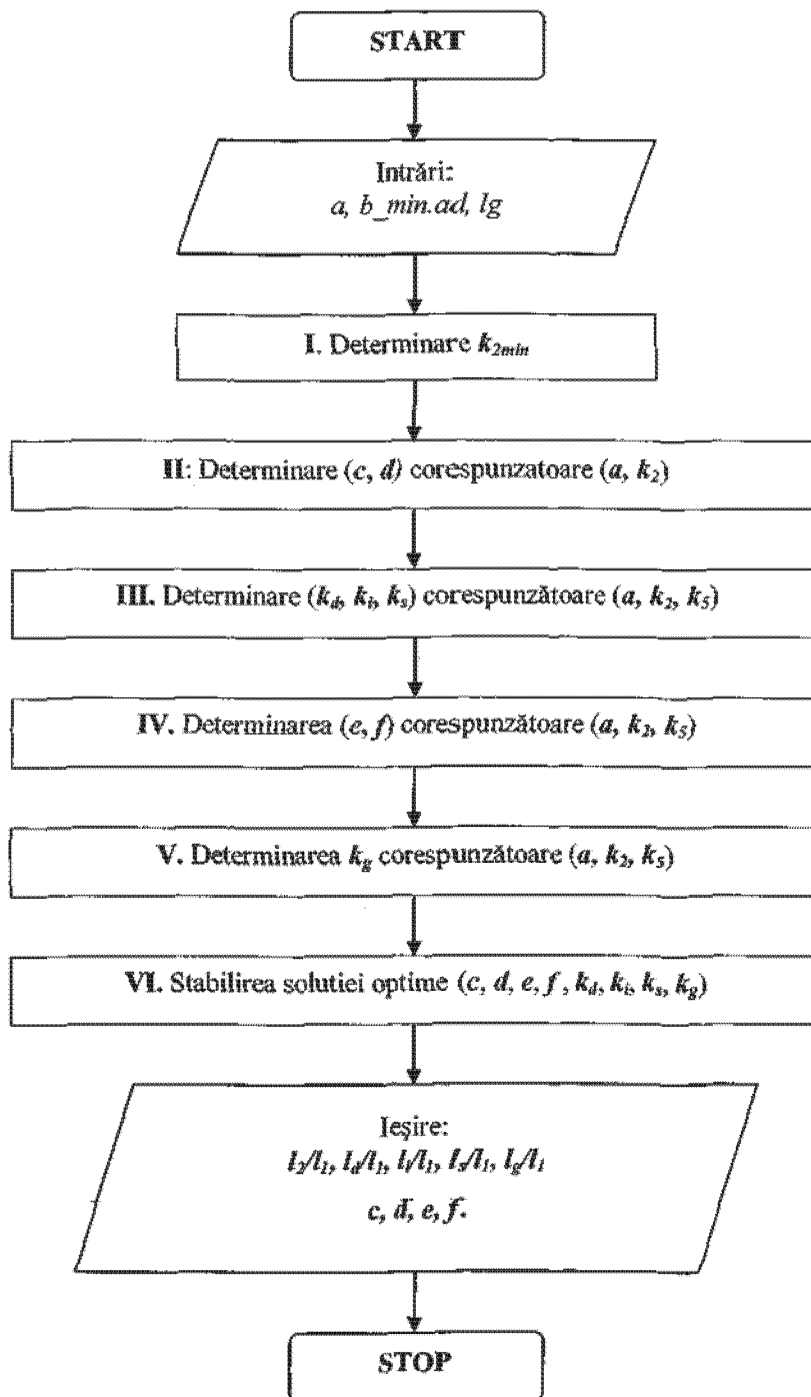


Fig. 19

